

一种基于齐次系统理论的二阶离散超螺旋控制算法

陈维乐, 都海波[†]

(合肥工业大学 电气与自动化工程学院, 安徽 合肥 230000)

摘要: 相比于传统滑模控制算法, 超螺旋控制算法可以对系统的干扰进行精确估计并补偿, 因此可以显著提高闭环系统的抗干扰能力。然而, 对于采样控制系统, 由于采样频率的限制, 离散超螺旋控制算法在性能方面受到限制。本文基于齐次系统理论提出了一种改进的离散超螺旋控制算法。通过引入一个可自由调节的分数幂参数, 基于齐次系统理论, 证明了所提出的改进控制算法可以使得闭环系统具有更高的控制精度。仿真实例验证了理论的正确性。

关键词: 滑模控制; 超螺旋算法; 齐次系统; 采样控制

引用格式: 陈维乐, 都海波. 一种基于齐次系统理论的二阶离散超螺旋控制算法. 控制理论与应用, 2022, 39(4): 761–769

DOI: 10.7641/CTA.2021.10182

A second-order discrete-time super-twisting control algorithm based on homogeneous system theory

CHEN Wei-le, DU Hai-bo[†]

(School of Electrical Engineering and Automation, Hefei University of Technology, Hefei Anhui 230000, China)

Abstract: Compared with the traditional sliding mode control algorithm, the super-twisting control algorithm can accurately estimate and compensate the disturbance of the system, so it can significantly improve disturbance rejection performance of the closed-loop system. However, for the sampled-data control system, due to the limitation of the sampling frequency, the discrete-time super-twisting control algorithm is limited in performance. This paper proposes an improved discrete-time super-twisting control algorithm based on homogeneous system theory. By introducing a freely adjustable fractional power parameter, based on homogeneous system theory, it is proved that the improved control algorithm proposed can make the closed-loop system have higher control accuracy. The simulation example verifies the correctness of the theory.

Key words: sliding mode control; super-twisting algorithm; homogeneous system; sampled-data control

Citation: CHEN Weile, DU Haibo. A second-order discrete-time super-twisting control algorithm based on homogeneous system theory. *Control Theory & Applications*, 2022, 39(4): 761–769

1 引言

滑模控制方法具有设计简单、强鲁棒性等优良性质, 因此受到广泛的研究和应用^[1–6]。然而, 早期的一阶滑模控制存在着一些不足, 尤其是由不连续性带来的抖振现象。后来, 一些学者提出了二阶滑模控制和高阶滑模控制^[7–13], 二阶滑模控制和高阶滑模控制是一阶滑模控制的推广, 既有传统一阶滑模强鲁棒性的特点, 同时大大消除了抖振, 因此得到了越来越多的关注。在二阶滑模控制算法中, 超螺旋算法(super-twisting algorithm, STA)因其良好的性质得到广泛的研究和应用^[11–20]。

以上分析的滑模控制问题都集中在设计连续时间形式的控制器上。然而, 在实际中, 越来越多的控制器实现是基于数字计算机的采样控制方式^[21–22], 因此对离散时间下的滑模控制, 即离散滑模控制(discrete-time sliding mode control, DSMC), 进行设计和分析具有重要意义。离散滑模控制在不同采样间隔内控制信号“冻结”, 固有的有限开关频率将导致抖振(锯齿形)运动^[23], 使得使用不连续符号函数的有限时间收敛的性质不再成立。

在此背景下, 主要有二种设计离散滑模的方法。其中一种是离散时间设计方法, 首先对动力系统进行离

收稿日期: 2021–03–02; 录用日期: 2021–08–13。

[†]通信作者。E-mail: haibo.du@hfut.edu.cn; Tel.: +86 18156062198。

本文责任编辑: 俞立。

国家自然科学基金项目(62073113, 62003122, 61673153), 安徽省自然科学基金项目(2008085UD03, 1808085MF180), 中央高校基本科研业务费项目(PA2020GDKC0016)资助。

Supported by the National Natural Science Foundation of China (62073113, 62003122, 61673153), the National Natural Science Foundation of Anhui Province of China (2008085UD03, 1808085MF180) and the Fundamental Research Funds for the Central Universities of China (PA2020GDKC0016).

散化,然后在离散时间域中设计滑模面,这种设计很大程度上是因为采用了较大的采样周期,其动力学和连续情况下有很大的不同.在文献[24]中研究了拟滑动模态和拟滑动模带,严格定义了有关离散滑模控制的术语,并基于一种趋近律方法建立了单输入离散时间系统的一个新的趋近条件.由于离散化的影响,不可避免的要对扰动进行估计,以增强系统的鲁棒性.文献[25-26]提出了带扰动补偿器的离散趋近律,从而减小了抖振,提高了控制精度.文献[27-28]研究了基于高阶滑模的离散微分器(观测器).另一种是连续滑模控制的离散化,其中的滑模设计是在连续时间域中进行的,然后通过离散化实现.文献[29-30]分别研究了离散化对基于等效控制的单输入和多输入滑模控制系统动力学行为的影响.文献[31]研究了具有匹配不确定性的基于等效控制的滑模控制系统的离散化行为,研究了具有匹配常数和周期不确定性的系统的一些固有的动态周期特性.文献[32]将连续终端滑模控制离散化,给出了系统稳态的显式有界性,建立了控制参数与稳态有界性之间的关系,证明离散时间的终端滑模系统比离散时间的线性滑模系统能提供更高的输出跟踪精度.

本文的主要目的在于研究离散超螺旋控制算法并加以改进.文献[27,33]等已证明离散超螺旋控制算法的控制精度为 $\mathcal{O}(T^2)$,然而在这些论文中,并没有完全考虑到有限开关频率的影响,即假设2.在此意义下,能否对标准超螺旋算法加以改进,提高控制精度具有重要研究价值.本文的主要贡献是利用齐次系统理论在标准超螺旋算法的基础上增加一个参数,使得原来的符号函数项转变为连续非光滑项,设计了离散非光滑控制器(discrete-time non-smooth controller, DNC),从理论上分析了影响控制精度的本质原因,并在此基础上对附加参数的选择进行了分析,揭示了本文设计的改进离散非光滑控制器能提供比离散超螺旋控制器(discrete-time super-twisting controller, DSTC)更高控制精度的原因.最后,仿真验证了理论的正确性.

2 预备知识

这部分主要介绍一些定义和引理,以便于之后的证明和解释说明.

定义1^[34] (Sig函数) 为了便于书写,定义

$$[x]^b = \text{sig}^b(x) = \text{sgn } x |x|^b, \quad (1)$$

其中: $\text{sgn}(\cdot)$ 是符号函数, $b \in \mathbb{R}$ 满足 $b \geq 0$, $x \in \mathbb{R}$.

定义2^[35] (齐次度) 考虑向量函数 $g(\psi) = (g_1(\psi) \cdots g_n(\psi))^T : \mathbb{R}^n \rightarrow \mathbb{R}^n$.对于 $\forall \varepsilon > 0$, 存在 $r_i > 0$, $i = 1, \dots, n$,使得下式成立:

$$g_i(\varepsilon^{r_1} \psi_1, \dots, \varepsilon^{r_n} \psi_n) = \varepsilon^{k+r_i} g_i(\psi), \quad i = 1, \dots, n, \quad (2)$$

其中 $k > -\min\{r_i, i = 1, \dots, n\}$,那么便称 $g(\psi)$ 关

于扩张 (r_1, \dots, r_n) 有齐次度 k .

引理1^[36] 考虑如下系统:

$$\dot{x} = f(x), \quad f(0) = 0, \quad x \in \mathbb{R}^n, \quad (3)$$

其中 $f(\cdot) : \mathbb{R}^n \rightarrow \mathbb{R}^n$ 是一个连续函数.假设存在一个正定连续函数 $V(x) : U \rightarrow \mathbb{R}$,有实数 $c > 0$ 和 $\alpha \in (0, 1)$,并且存在一个包含原点开区域 $U_0 \subset U$ 使得 $\dot{V}(x) + c(V(x))^\alpha \leq 0$, $x \in U_0 \setminus \{0\}$.那么 $V(x)$ 将在有限时间内到达0.此外,有限收敛时间 T 满足

$$T \leq \frac{V(x(0))^{1-\alpha}}{c(1-\alpha)}.$$

引理2^[37] 如果 $m > 1$,那么

$$\frac{d|x|^m}{dx} = m[x]^{m-1}, \quad \frac{d|x|^m}{dx} = m|x|^{m-1}.$$

下面的不等式引理是直接借用文献[38-39],或者在此基础上做了一些小小的改进.

引理3 如果 $0 < p \leq 1$,那么 $|[x]^p - [y]^p| \leq 2^{1-p}|x - y|^p$.

引理4 如果 $p \geq 1$,那么 $|[x]^p - [y]^p| \geq 2^{1-p}|x - y|^p$.

引理5^[38] 对 $c, d > 0, \gamma > 0$,对任意 $\forall x, y \in \mathbb{R}$,下列不等式成立:

$$|x|^c |y|^d \leq \frac{c}{c+d} \gamma |x|^{c+d} + \frac{d}{c+d} \gamma^{-c/d} |y|^{c+d}.$$

引理6^[39] 对任意 $x_i \in \mathbb{R}, i = 1, \dots, n$ 和实数 $p \in (0, 1]$,

$$(|x_1| + \dots + |x_n|)^p \leq |x_1|^p + \dots + |x_n|^p.$$

3 离散超螺旋控制算法

考虑如下一阶系统:

$$\dot{x}(t) = u(t) + f(t), \quad (4)$$

其中: $u(t)$ 是控制输入, $f(t)$ 是外部扰动, 并且满足以下假设.

假设1 $f(t)$ 光滑可导,且满足

$$|\dot{f}(t)| \leq L, \quad (5)$$

其中 L 是已知常数.

本文的主要目标是设计一类采样控制器实现对系统(4)的镇定控制.采样控制方式使用最常见的零阶保持器

$$u(t) = u(t_k), \quad \forall t \in [t_k, t_{k+1}), \quad t_{k+1} = t_k + T,$$

其中: t_k, t_{k+1} 是采样时刻点, T 是采样周期.对于采样周期,一般满足下列假设.

假设2 已知存在一个最小采样周期 T^* ,使得

$$1 > T \geq T^* > 0, \quad (6)$$

其中 T 是系统实际能够设置的采样周期.

本文的目标是针对系统(4)设计一种改进的离散超螺旋控制方法, 以减小抖振, 获得更高的控制精度。首先, 针对系统(4), 对离散超螺旋算法进行回顾。

具体地, 控制器设计为

$$\begin{cases} u(t) = u(t_k) = -k_1[x(t_k)]^{1/2} + v(t_k), \\ \forall t \in [t_k, t_{k+1}), \\ v(t_{k+1}) = v(t_k) - k_2 \operatorname{sgn} x(t_k)T. \end{cases} \quad (7)$$

文献[33]已证明其控制精度可以到达 $\mathcal{O}(T^2)$ 。接下来, 本文将在式(7)的基础上加以扩展, 提出一种改进的离散超螺旋控制方法, 使系统在采样控制方式下拥有更高的精度。

4 改进的离散超螺旋控制方法

通过运用齐次系统理论, 增加了一个参数, 扩展了标准离散超螺旋控制方法。本节将证明在采样控制下, 本文所设计的改进方法能够使系统有更高的控制精度。

定理1 对于一阶系统(4), 如果采样控制器设计为

$$\begin{cases} u(t) = u(t_k) = -k_1[x(t_k)]^{1+\tau} + v(t_k), \\ \forall t \in [t_k, t_{k+1}), \\ v(t_{k+1}) = v(t_k) - k_2[x(t_k)]^{1+2\tau}T, \end{cases} \quad (8)$$

其中 $-1/2 < \tau < 0$, 并且增益满足

$$\begin{cases} k_1 \geq (2^{\frac{1}{1+\tau}} - 1)(1 + (2\gamma_1 + 2)\gamma_2 + \gamma_3)k_2)^{\frac{1}{2}}, \\ k_2 > L, \end{cases} \quad (9)$$

$$\begin{aligned} \gamma_1 &= \frac{1}{1+\tau} \left(\frac{1-2\tau}{2+\tau} + \frac{3+4\tau}{2+\tau} 2^{\frac{1}{1+\tau}} \right), \\ \gamma_3 &= \frac{1}{1+\tau} \frac{3+4\tau}{2+\tau} 2^{\frac{1}{1+\tau}}, \\ \gamma_2 &= \frac{1+2\tau}{2+\tau} 2^{\frac{-\tau}{1+\tau}} \left(2^{\frac{1}{1+\tau}} \frac{1-\tau}{2+\tau} \right)^{\frac{1-\tau}{1+2\tau}}, \end{aligned}$$

那么系统输出将在有限时间收敛到如下区域:

$$\{x||x| \leq \max\{c_1(\frac{L}{k_2})^{\frac{1}{1+2\tau}}, c_2 T^{-\frac{1}{\tau}}\}\}, \quad (10)$$

其中 c_1, c_2 是与控制参数相关的常数。

证 将控制器(8)代入系统(4)中, 可以得到系统状态的精确迭代公式

$$\begin{cases} x(t_{k+1}) = \\ x(t_k) - k_1[x(t_k)]^{1+\tau}T + v(t_k)T + \int_{t_k}^{t_{k+1}} f(t)dt, \\ v(t_{k+1}) = v(t_k) - k_2[x(t_k)]^{1+2\tau}T, \end{cases} \quad (11)$$

定义

$$x_1(t_k) = x(t_k), x_2(t_k) = \frac{v(t_k) + \frac{1}{T} \int_{t_k}^{t_{k+1}} f(t)dt}{k_1},$$

那么式(11)将转化为

$$\begin{cases} x_1(t_{k+1}) = x_1(t_k) + k_1(x_2(t_k) - [x_1(t_k)]^{1+\tau})T, \\ x_2(t_{k+1}) = x_2(t_k) - k([x_1(t_k)]^{1+2\tau} + d)T, \end{cases} \quad (12)$$

其中:

$$k = \frac{k_2}{k_1}, d = d(t_k) = \frac{\int_{t_k}^{t_{k+1}} f(t)dt - \int_{t_k}^{t_{k+1}} f(t)dt}{k_2 T^2}.$$

由于 $|\dot{f}(t)| \leq L$, 易得 $|d| \leq d^* = \frac{L}{k_2}$.

式(12)的等价采样形式为

$$\begin{cases} \dot{x}_1(t) = k_1(x_2(t) - [x_1(t)]^{1+\tau}), \\ \dot{x}_2(t) = -k([x_1(t)]^{1+2\tau} + d), \\ \forall t \in [t_k, t_{k+1}). \end{cases} \quad (13)$$

进一步, 可以重写为

$$\begin{cases} \dot{x}_1(t) = k_1(x_2(t) - [x_1(t)]^{1+\tau}) + \\ k_1([x_1(t)]^{1+\tau} - [x_1(t_k)]^{1+\tau}) - \\ k_1(x_2(t) - x_2(t_k)), \\ \dot{x}_2(t) = -k([x_1(t)]^{1+2\tau} + d) + \\ k([x_1(t)]^{1+2\tau} - [x_1(t_k)]^{1+2\tau}). \end{cases} \quad (14)$$

为了书写方便, 记

$$\begin{cases} B_1 = k_1([x_1(t)]^{1+\tau} - [x_1(t_k)]^{1+\tau}), \\ B_2 = k([x_1(t)]^{1+2\tau} - [x_1(t_k)]^{1+2\tau}), \\ C_1 = -k_1(x_2(t) - x_2(t_k)). \end{cases} \quad (15)$$

构造李雅普诺夫函数为

$$V = V_1 + V_2, \quad (16)$$

其中

$$\begin{cases} V_1 = (\gamma_1 + 1)(1 + \tau)|x_2(t)|^{\frac{2}{1+\tau}}, \\ V_2 = \frac{1}{2}(x_1(t) - [x_2(t)]^{\frac{1}{1+\tau}})^2, \end{cases} \quad (17)$$

$x_1(t), x_2(t)$ 是系统状态。显然, 系统(14)被拆分成了两部分, 一部分是连续时间控制器, 一部分为采样控制造成的误差。为了便于证明, 可以先讨论连续系统部分的稳定性分析, 亦即采样时间为0情况下的稳定性分析。具体的证明过程可见附录。

命题1 沿着如下的连续时间闭环系统:

$$\begin{cases} \dot{x}_1(t) = k_1(x_2(t) - [x_1(t)]^{1+\tau}), \\ \dot{x}_2(t) = -k([x_1(t)]^{1+2\tau} + d), \end{cases} \quad (18)$$

对 V 求导有

$$\dot{V}|_{(18)} \leq -\frac{k}{2}(|\xi|^{\frac{2+\tau}{1+\tau}} + |x_2|^{\frac{2+\tau}{1+\tau}}) + k\gamma_6(d^*)^{\frac{2+\tau}{1+\tau}}, \quad (19)$$

其中: γ_6 为正的常数, $\xi = [x_1]^{1+\tau} - x_2$.

基于命题1, 使用与式(17)相同的李雅普诺夫函数, 沿着系统方程(14)对 V 求导, 得到

$$\begin{aligned}\dot{V}|_{(14)} &= \\ \dot{V}|_{(18)} + \frac{\partial V}{\partial x_1} \cdot (B_1 + C_1) + \frac{\partial V}{\partial x_2} \cdot B_2 &\leqslant \\ -\frac{k}{2}(|\xi|^{\frac{2+\tau}{1+\tau}} + |x_2|^{\frac{2+\tau}{1+\tau}}) + k\gamma_6(d^*)^{\frac{2+\tau}{1+2\tau}} + \frac{\partial V}{\partial x_1} \cdot B_1 + \frac{\partial V}{\partial x_1} \cdot C_1 + \frac{\partial V}{\partial x_2} \cdot B_2.\end{aligned}\quad (20)$$

接下来, 对 $\frac{\partial V}{\partial x_1}$ 和 $\frac{\partial V}{\partial x_2}$ 进行估计. 首先, 从引理4可知

$$\begin{aligned}\frac{\partial V}{\partial x_1} &= x_1 - [x_2]^{\frac{1}{1+\tau}} \leqslant |x_1| + |x_2|^{\frac{1}{1+\tau}} = \\ |[x_1]^{1+\tau} - x_2 + x_2|^{\frac{1}{1+\tau}} + |x_2|^{\frac{1}{1+\tau}} &\leqslant \\ 2^{\frac{1}{1+\tau}-1}|\xi|^{\frac{1}{1+\tau}} + (2^{\frac{1}{1+\tau}-1} + 1)|x_2|^{\frac{1}{1+\tau}} &\leqslant \\ \gamma_8(|\xi|^{\frac{1}{1+\tau}} + |x_2|^{\frac{1}{1+\tau}}),\end{aligned}\quad (21)$$

其中 $\gamma_8 = 2^{\frac{1}{1+\tau}-1} + 1$. 其次, 通过引理5可得

$$\begin{aligned}\frac{\partial V}{\partial x_2} &= \\ (2\gamma_1 + 2)[x_2]^{\frac{2}{1+\tau}-1} - \frac{1}{1+\tau}(x_1 - & \\ [x_2]^{\frac{1}{1+\tau}})|x_2|^{\frac{1}{1+\tau}-1} &\leqslant \\ (2\gamma_1 + 2 + \frac{1}{1+\tau})|x_2|^{\frac{2}{1+\tau}-1} + & \\ \frac{1}{1+\tau}|x_1||x_2|^{\frac{1}{1+\tau}-1} &\leqslant \\ (2\gamma_1 + 2 + \frac{1}{1+\tau} + \frac{-\tau}{1-\tau^2})|x_2|^{\frac{2}{1+\tau}-1} + & \\ \frac{1}{1-\tau^2}|x_1|^{1-\tau}.&\end{aligned}\quad (22)$$

考虑到

$$|x_1|^{1-\tau} = |[x_1]^{1+\tau} - x_2 + x_2|^{\frac{2}{1+\tau}-1} \leqslant 2^{\frac{2}{1+\tau}-2}(|\xi|^{\frac{2}{1+\tau}-1} + |x_2|^{\frac{2}{1+\tau}-1}), \quad (23)$$

有

$$\frac{\partial V}{\partial x_2} \leqslant \gamma_9(|x_2|^{\frac{2}{1+\tau}-1} + |\xi|^{\frac{2}{1+\tau}-1}), \quad (24)$$

$$\text{其中 } \gamma_9 = 2\gamma_1 + 2 + \frac{2^{\frac{2}{1+\tau}-2} + 1 - 2\tau}{1 - \tau^2}.$$

至于 B_1 和 B_2 , 从引理3可得

$$B_1 \leqslant k_1 2^{-\tau} |x_1(t) - x_1(t_k)|^{1+\tau}, \quad (25)$$

$$B_2 \leqslant k 2^{-2\tau} |x_1(t) - x_1(t_k)|^{1+2\tau}. \quad (26)$$

注意到

$$|x_1(t) - x_1(t_k)| = |\int_{t_k}^t \dot{x}_1(t) dt| \leqslant \int_{t_k}^t |\dot{x}_1(t)| dt, \quad (27)$$

$$|x_2(t) - x_2(t_k)| = |\int_{t_k}^t \dot{x}_2(t) dt| \leqslant \int_{t_k}^t |\dot{x}_2(t)| dt. \quad (28)$$

基于式(13), 可知

$$\begin{cases} |\dot{x}_1(t)| = k_1 |x_2(t) - [x_1(t_k)]^{1+\tau}| \leqslant \\ k_1 |x_2(t)| + k_1 |x_1(t_k)|^{1+\tau}, \\ |\dot{x}_2(t)| = k |([x_1(t_k)]^{1+2\tau} + d)| \leqslant \\ k |x_1(t_k)|^{1+2\tau} + kd^*. \end{cases} \quad (29)$$

此外, 有

$$\begin{aligned}|x_2| &= (\frac{1}{(\gamma_1 + 1)(1 + \tau)} V_1)^{\frac{1+\tau}{2}} = \\ \gamma_{10} V_1^{\frac{1+\tau}{2}} &\leqslant \gamma_{10} V^{\frac{1+\tau}{2}},\end{aligned}\quad (30)$$

$$\begin{aligned}|x_1| &\leqslant |x_1 - [x_2]^{\frac{1}{1+\tau}}| + |x_2|^{\frac{1}{1+\tau}} \leqslant \\ 2^{\frac{1}{2}} V^{\frac{1}{2}} + \rho_2^{\frac{1}{1+\tau}} V^{\frac{1}{2}} &= \gamma_{11} V^{\frac{1}{2}},\end{aligned}\quad (31)$$

其中:

$$\begin{aligned}\gamma_{10} &= (\frac{1}{(\gamma_1 + 1)(1 + \tau)})^{\frac{1+\tau}{2}}, \\ \gamma_{11} &= (\frac{1}{(\gamma_1 + 1)(1 + \tau)})^{\frac{1}{2}} + 2^{\frac{1}{2}}.\end{aligned}$$

所以, 结合式(27)–(31)以及引理4, 得到

$$\begin{cases} |x_1(t) - x_1(t_k)| \leqslant \gamma_{12} T V_{\max}^{\frac{1+\tau}{2}}(t), \\ |x_2(t) - x_2(t_k)|^{\frac{2+\tau}{1+\tau}} \leqslant \\ (k\gamma_{11}^{1+2\tau} T V_{\max}^{\frac{1+2\tau}{2}}(t) + kd^*)^{\frac{2+\tau}{1+\tau}} \leqslant \\ \gamma_{13} T^{\frac{2+\tau}{1+\tau}} V_{\max}^{\frac{(1+2\tau)(2+\tau)}{2(1+\tau)}}(t) + \gamma_{14} T^{\frac{2+\tau}{1+\tau}} (d^*)^{\frac{2+\tau}{1+\tau}}, \end{cases} \quad (32)$$

其中:

$$\begin{cases} \gamma_{12} = k_1 \gamma_{10} + k_1 \gamma_{11}^{1+\tau}, \\ V_{\max}(t) = \max_{u \in [t_k, t]} V(u), \\ \gamma_{13} = 2^{\frac{1}{1+\tau}} (k\gamma_{11}^{1+2\tau})^{\frac{2+\tau}{1+\tau}}, \\ \gamma_{14} = 2^{\frac{1}{1+\tau}} k^{\frac{2+\tau}{1+\tau}} < \gamma_{13}. \end{cases} \quad (33)$$

基于上述不等式, 结合式(21)(25)和引理5, 得到

$$\begin{aligned}\frac{\partial V}{\partial x_1} \cdot B_1 &\leqslant \\ \gamma_8(|\xi|^{\frac{1}{1+\tau}} + |x_2|^{\frac{1}{1+\tau}}) k_1 2^{-\tau} |x_1(t) - x_1(t_k)|^{1+\tau} &\leqslant \\ \frac{k}{8} |x_2|^{\frac{2+\tau}{1+\tau}} + \frac{k}{8} |\xi|^{\frac{2+\tau}{1+\tau}} + \frac{k\gamma_{15}}{\gamma_{12}^{2+\tau}} |x_1(t) - x_1(t_k)|^{2+\tau} &\leqslant \\ \frac{k}{8} (|x_2|^{\frac{2+\tau}{1+\tau}} + |\xi|^{\frac{2+\tau}{1+\tau}}) + k\gamma_{15} T^{2+\tau} V_{\max}^{\frac{(1+\tau)(2+\tau)}{2}}(t),&\end{aligned}\quad (34)$$

其中

$$\gamma_{15} = 2\gamma_8 \frac{k_1}{k} 2^{-\tau} \frac{1+\tau}{2+\tau} (\gamma_8 k_1 2^{-\tau} \frac{1}{2+\tau} \frac{8}{k})^{\frac{1}{1+\tau}} \gamma_{12}^{2+\tau}.$$

然后, 结合式(22)(26)(32)和引理5得到

$$\begin{aligned} \frac{\partial V}{\partial x_2} \cdot B_2 &\leqslant \\ \gamma_9(|x_2|^{\frac{2}{1+\tau}-1} + |\xi|^{\frac{2}{1+\tau}-1})k2^{-2\tau}|x_1(t)-x_1(t_k)|^{1+2\tau} &\leqslant \\ \gamma_9k2^{-2\tau}|x_2|^{\frac{2}{1+\tau}-1}|x_1(t)-x_1(t_k)|^{1+2\tau} + \\ \gamma_9k2^{-2\tau}|\xi|^{\frac{2}{1+\tau}-1}|x_1(t)-x_1(t_k)|^{1+2\tau} &\leqslant \\ \frac{k}{8}|x_2|^{\frac{2+\tau}{1+\tau}} + \frac{k}{8}|\xi|^{\frac{2+\tau}{1+\tau}} + \frac{k\gamma_{16}}{\gamma_{12}^{2+\tau}}|x_1(t)-x_1(t_k)|^{2+\tau} &\leqslant \\ \frac{k}{8}(|x_2|^{\frac{2+\tau}{1+\tau}} + |\xi|^{\frac{2+\tau}{1+\tau}}) + k\gamma_{16}T^{2+\tau}V_{\max}^{\frac{(1+\tau)(2+\tau)}{2}}(t), & \end{aligned} \quad (35)$$

其中

$$\gamma_{16} = 2\gamma_92^{-2\tau}\frac{1+2\tau}{2+\tau}(8\gamma_92^{-2\tau}\frac{1-\tau}{2+\tau})^{\frac{1-\tau}{1+2\tau}}\gamma_{12}^{2+\tau}.$$

类似地, 结合式(15)(21)(32)和引理5得到

$$\begin{aligned} \frac{\partial V}{\partial x_1} \cdot C_1 &\leqslant \\ \gamma_8(|\xi|^{\frac{1}{1+\tau}} + |x_2|^{\frac{1}{1+\tau}})k_1|x_2(t)-x_2(t_k)| &\leqslant \\ \frac{k}{8}|x_2|^{\frac{2+\tau}{1+\tau}} + \frac{k}{8}|\xi|^{\frac{2+\tau}{1+\tau}} + 2\gamma_8k_1\frac{1+\tau}{2+\tau}(\frac{8\gamma_8k_1}{(2+\tau)k})^{\frac{1}{1+\tau}}. & \\ |x_1(t)-x_1(t_k)|^{\frac{2+\tau}{1+\tau}} &\leqslant \\ \frac{k}{8}(|x_2|^{\frac{2+\tau}{1+\tau}} + |\xi|^{\frac{2+\tau}{1+\tau}}) + \gamma_{18}kT^{\frac{2+\tau}{1+\tau}}(d^*)^{\frac{2+\tau}{1+\tau}} + \\ \gamma_{17}kT^{\frac{2+\tau}{1+\tau}}V_{\max}^{\frac{(1+2\tau)(2+\tau)}{2}}(t), & \end{aligned} \quad (36)$$

其中:

$$\begin{aligned} \gamma_{17} &= 2\gamma_8\frac{k_1}{k}\frac{1+\tau}{2+\tau}(\frac{8\gamma_8k_1}{(2+\tau)k})^{\frac{1}{1+\tau}}\gamma_{13}, \\ \gamma_{18} &= 2\gamma_8\frac{k_1}{k}\frac{1+\tau}{2+\tau}(\frac{8\gamma_8k_1}{(2+\tau)k})^{\frac{1}{1+\tau}}\gamma_{14} < \gamma_{17}. \end{aligned}$$

将式(34)–(36)代入式(20), 可得

$$\begin{aligned} \dot{V} &\leqslant \\ -\frac{k}{8}(|x_2|^{\frac{2+\tau}{1+\tau}} + |\xi|^{\frac{2+\tau}{1+\tau}}) + k\gamma_6(d^*)^{\frac{2+\tau}{1+2\tau}} + \\ k\gamma_{19}T^{2+\tau}V_{\max}^{\frac{(1+\tau)(2+\tau)}{2}}(t) + \gamma_{18}kT^{\frac{2+\tau}{1+\tau}}(d^*)^{\frac{2+\tau}{1+\tau}} + \\ \gamma_{17}kT^{\frac{2+\tau}{1+\tau}}V_{\max}^{\frac{(1+2\tau)(2+\tau)}{2}}(t) &\leqslant \\ -\frac{k}{8}(\frac{V}{\gamma_7})^{\frac{2+\tau}{2}} + k\gamma_6(d^*)^{\frac{2+\tau}{1+2\tau}} + \\ k\gamma_{19}T^{2+\tau}V_{\max}^{\frac{(1+\tau)(2+\tau)}{2}}(t) + k\gamma_{18}T^{\frac{2+\tau}{1+\tau}}(d^*)^{\frac{2+\tau}{1+\tau}} + \\ k\gamma_{17}T^{\frac{2+\tau}{1+\tau}}V_{\max}^{\frac{(1+2\tau)(2+\tau)}{2}}(t), & \end{aligned} \quad (37)$$

其中 $\gamma_{19} = \gamma_{15} + \gamma_{16}$.

定义如下集合:

$$\Omega_2 = \{(x_1, x_2) | V \leqslant \max\{\gamma_{21}T^{-\frac{2}{\tau}}, \gamma_{20}(d^*)^{\frac{2}{1+2\tau}}\}\}, \quad (38)$$

其中

$$\begin{cases} \gamma_{20} = \max\{\gamma_7(48\gamma_6)^{\frac{2}{2+\tau}}, 1\}, \\ \gamma_{21} = \max\{(48\gamma_{19}\gamma_7^{\frac{2+\tau}{2}})^{-\frac{2}{\tau(2+\tau)}}, \\ (48\gamma_{17}\gamma_7^{\frac{2+\tau}{2}})^{-\frac{2(1+\tau)}{\tau(2+\tau)}}\}. \end{cases} \quad (39)$$

接下来, 将证明系统状态将在有限时间内收敛到该集合.

如果系统不在该集合内, 这意味着

$$V > \gamma_{21}T^{-\frac{2}{\tau}}, V > \gamma_{20}(d^*)^{\frac{2}{1+2\tau}},$$

进一步, 并结合 $\gamma_{17} > \gamma_{18}$ 得到

$$\begin{cases} \frac{k}{48}(\frac{V}{\gamma_7})^{\frac{2+\tau}{2}} > k\gamma_6(d^*)^{\frac{2+\tau}{1+2\tau}}, \\ \frac{k}{48}(\frac{V}{\gamma_7})^{\frac{2+\tau}{2}} > k\gamma_{19}T^{2+\tau}V^{\frac{(1+\tau)(2+\tau)}{2}}(t), \\ \frac{k}{48}(\frac{V}{\gamma_7})^{\frac{2+\tau}{2}} > k\gamma_{17}T^{\frac{2+\tau}{1+\tau}}V^{\frac{(1+2\tau)(2+\tau)}{2(1+\tau)}}(t), \\ k\gamma_{17}T^{\frac{2+\tau}{1+\tau}}V^{\frac{(1+2\tau)(2+\tau)}{2(1+\tau)}}(t) > k\gamma_{18}T^{\frac{2+\tau}{1+\tau}}(d^*)^{\frac{2+\tau}{1+\tau}}. \end{cases} \quad (40)$$

将上式代入式(37)得到

$$\begin{aligned} \dot{V} &\leqslant \\ -2k\gamma_{19}T^{2+\tau}V^{\frac{(1+\tau)(2+\tau)}{2}}(t) + \\ k\gamma_{19}T^{2+\tau}V_{\max}^{\frac{(1+\tau)(2+\tau)}{2}}(t) - \\ 2k\gamma_{17}T^{\frac{2+\tau}{1+\tau}}V^{\frac{(1+2\tau)(2+\tau)}{2(1+\tau)}}(t) + \\ k\gamma_{17}T^{\frac{2+\tau}{1+\tau}}V_{\max}^{\frac{(1+2\tau)(2+\tau)}{2(1+\tau)}}(t). & \end{aligned} \quad (41)$$

基于此, 将使用反证法证明这个式子

$$\max_{\forall \tau \in [t_k, t_{k+1}]} V(\tau) = V(t_k). \quad (42)$$

假设这个式子不成立, 那么在 $[t_k, t_{k+1}]$ 必存在一个时刻 t_1 使得 $V(t_1) > V(t_k)$. 又因为 $\dot{V}(t_k) < 0$, 那么必存在在另一时刻 $t_2 \in [t_k, t_1]$ 使得

- i) $V(t_2) = V(t_k)$,
- ii) $\dot{V}(t_2) > 0$,
- iii) $V(t) \leqslant V(t_k), \forall t \in [t_k, t_2]$.

由i)和iii), 结合式(41)有

$$\begin{aligned} \dot{V}(t_2) &\leqslant -\gamma_{19}kT^{2+\tau}V^{\frac{(1+\tau)(2+\tau)}{2}}(t_2) - \\ \gamma_{17}kT^{\frac{2+\tau}{1+\tau}}V^{\frac{(1+2\tau)(2+\tau)}{2(1+\tau)}}(t_2) &< 0. \end{aligned} \quad (43)$$

这与 $\dot{V}(t_2) > 0$ 矛盾, 式(42)得证. 进一步, 式(41)转化为

$$\begin{aligned} \dot{V} &\leqslant \\ -2\gamma_{19}kT^{2+\tau}V^{\frac{(1+\tau)(2+\tau)}{2}}(t) + \\ \gamma_{19}kT^{2+\tau}V^{\frac{(1+\tau)(2+\tau)}{2}}(t_k) - \\ 2k\gamma_{17}T^{\frac{2+\tau}{1+\tau}}V^{\frac{(1+2\tau)(2+\tau)}{2(1+\tau)}}(t) + & \end{aligned}$$

$$k\gamma_{17}T^{\frac{2+\tau}{1+\tau}}V^{\frac{(1+2\tau)(2+\tau)}{2(1+\tau)}}(t_k). \quad (44)$$

在任意 $t \in [t_k, t_{k+1})$, 对于 $V(t)$ 而言共有2种情况, 一种是 $V(t) > \frac{1}{2}V(t_k)$, 而另一种是 $V(t) \leq \frac{1}{2}V(t_k)$. 显然, 第1种情况总会发生, 也就是说, 在 $V(t) \leq \frac{1}{2}V(t_k)$ 之前, 满足

$$\begin{aligned} \dot{V} &\leq \\ &- (2 - 2^{\frac{(1+\tau)(2+\tau)}{2}})\gamma_{19}kT^{2+\tau}V^{\frac{(1+\tau)(2+\tau)}{2}}(t) - \\ &(2 - 2^{\frac{(1+2\tau)(2+\tau)}{2(1+\tau)}})k\gamma_{17}T^{\frac{2+\tau}{1+\tau}}V^{\frac{(1+2\tau)(2+\tau)}{2(1+\tau)}}(t), \end{aligned} \quad (45)$$

属于有限时间收敛, 因此, 无论第2种情况是否发生, 都有

$$V(t_{k+1}) \leq cV(t_k), \quad (46)$$

其中常数 c 满足 $0 < c < 1$. 所以, $V(t_k)$ 将收敛到 Ω_2 .

证毕.

注 1 对于闭环系统(18), 即是本文所设计的离散超螺旋闭环控制系统的连续时间形式(亦即采样周期为0), 根据齐次系统的定义, 当干扰 $d = 0$ 时, 该闭环系统对扩张 $(1, 1 + \tau)$ 具有齐次度 τ . 因此, 本文所提出的离散超螺旋控制算法是基于齐次系统理论设计出的. 此外, 和传统的连续形式超螺旋控制系统对比, 该系统增加了一个附加参数 τ , 基于式(19), 可以看出该额外的参数对系统的稳态误差产生影响.

注 2 从式(38)可知, 系统输出最终将收敛到 $c_2 T^{-\frac{1}{\tau}}$ 和 $c_1 (\frac{L}{k_2})^{\frac{1}{1+2\tau}}$ 所限定的边界内, 前者表征着非光滑项带来的抖振影响, 后者表征着外在扰动对系统的影响. 考虑到 $-1/2 < \tau < 0$, 讨论下面2种情况.

1) 如果 $\tau = -1/2$, 控制器(7)转变为离散超螺旋控制器, 那么系统状态边界为

$$\{x \mid |x| \leq \bar{c}_2 T^2\}, \quad (47)$$

其中 \bar{c}_2 是一个常数. 此时, 系统对外扰能够完全消除, 但是由于符号函数带来的不连续性引起了较大的抖振现象.

2) 如果 $\tau = 0$, 此时控制器(7)转变为离散线性控制器, 状态边界为

$$\{x \mid |x| \leq \bar{c}_1 \frac{L}{k_2}\}, \quad (48)$$

其中 \bar{c}_1 是一个常数. 此时, 抖振现象被完全消除, 但是扰动产生了较大影响.

由式(38)(47)–(48)可知, 在离散系统中, 无论是线性项还是非线性项(符号函数)都是针对抖振或者扰动的其中之一有效, 而对另一面则会产生较大的误差. 一般采样周期远小于扰动, 所以一般情况下, 离散超螺旋控制器的控制精度上远高于离散线性控制器.

本文在上述2种算法的基础上, 采用了一种折衷的方式, 引入了非光滑项, 通过调节 τ 在抖振和外部干扰抑制性能之间取得了一种平衡, 使得整体稳态误差界变小. τ 由下式确定

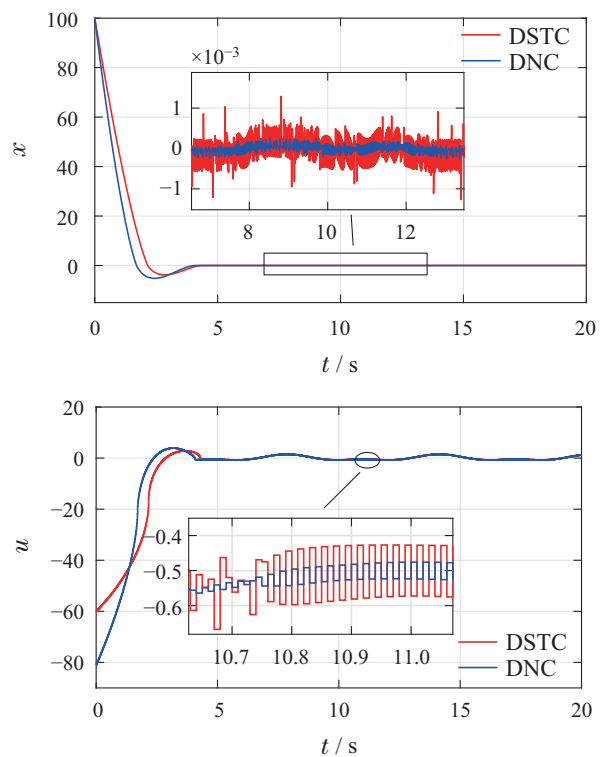
$$T^{-\frac{1}{\tau}} = \left(\frac{L}{k_2}\right)^{\frac{1}{1+2\tau}}. \quad (49)$$

将式(49)结合假设2, 易知 $-\frac{1}{2} < \tau < 0$, 且随着 $\frac{L}{k_2}$ 减小, τ 将不断向0接近. 若 $T = T^*$, 且 $\frac{L}{k_2} = T^*$, 则 $\tau = -\frac{1}{3}$, 此时 $T^{-\frac{1}{\tau}} = \left(\frac{L}{k_2}\right)^{\frac{1}{1+2\tau}} = (T^*)^3$. 在实际中, k_2 存在饱和限制, 但是在一定程度上仍然对抖振起到了抑制作用, 在减小抖振和抵抗扰动之间取得一种平衡, 从而提高了整体的控制精度.

5 仿真

在仿真中, 假设外界扰动为 $f(t) = -\sin t + 0.5 \cos(2t)$, 则 $|\dot{f}(t)| = |- \cos t - \sin(2t)| \leq 2$, 即 $L = 2$. 假设最小采样周期满足 $T^* = 0.001$ s. 为了验证所提算法的高精度, 将本文提出的离散非光滑控制器(DNC)与标准的离散超螺旋控制器(DSTC)作比较, 并选择较大初始状态, 观察最后的误差范围. 系统初值: $x(0) = 100$. 控制器参数: $k_1 = 6, k_2 = 8, v(0) = 0, \tau$ 由式(49)决定.

系统输出曲线和控制输入曲线如图1所示, 可以直观地看出, 在不同采样周期下, 本文提出的离散非光滑控制器稳定状态时的误差界都显著小于离散超螺旋控制器. 此外, 图1中系统输出曲线最后的误差界整理在表1中, 从表中误差界的大小关系可以看出, 通过调节 τ 的取值可以将误差界显著减小, 说明了本文的改进算法可以实现更高的控制精度目标.



(a) $T = 0.01$ s

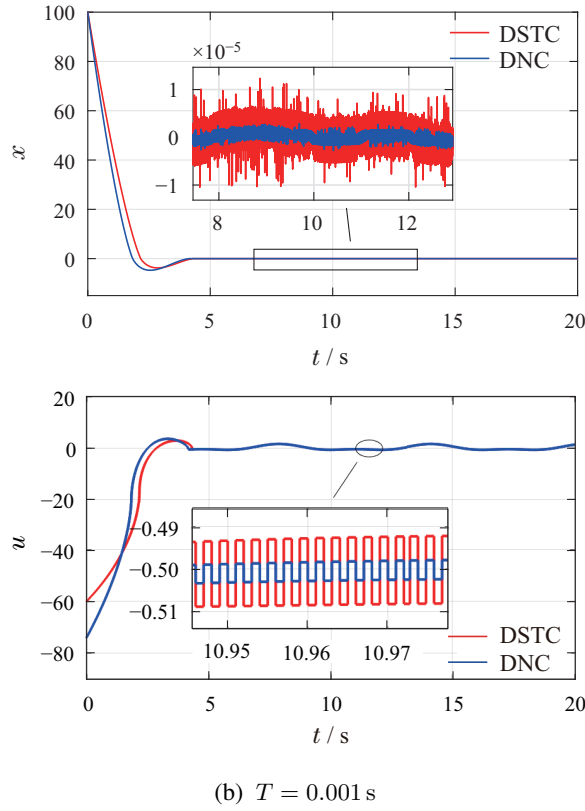
(b) $T = 0.001\text{ s}$

图1 在不同采样周期 T 情况下, 离散超螺旋控制器(DSTC)和离散非光滑控制器(DNC)作用下的系统输出和控制输入

Fig. 1 Under the case of different sampling periods T , the system output and control input under the action of discrete-time super-twisting controller (DSTC) and discrete-time non-smooth controller (DNC)

表1 2种算法下系统最终收敛的误差界及其比较

Table 1 The bounds of the final convergence of the system errors under two algorithms and their comparison

T	τ	DSTC	DNC	精度提高
0.01	-0.4346	1.30le-3	2.74le-4	78.9%
0.001	-0.4544	1.37le-5	2.88le-6	79.0%

6 总结

本文针对一阶系统的采样控制提出了一种改进的离散超螺旋控制方法。首先, 在超螺旋控制算法的基础上, 利用齐次控制理论, 通过调节附加参数来提高控制精度。然后, 通过构造合适的李雅普诺夫函数, 定量地分析了采样周期和外在扰动对控制精度的影响, 并给出了附加参数的整定方法, 证明了本文的改进算法精度高于标准离散超螺旋控制算法。最后, 仿真验证了理论分析的正确性。

附录 命题1的证明

首先, 结合引理2, 给出 V_1 的导数为

$$\dot{V}_1 =$$

$$\begin{aligned} & -(2\gamma_1 + 2)k[x_2]^{\frac{2}{1+\tau}-1}([x_1]^{1+2\tau} + d) = \\ & -(2\gamma_1 + 2)k[x_2]^{\frac{2}{1+\tau}-1}([x_1]^{1+2\tau} - [x_2]^{\frac{1+2\tau}{1+\tau}} + \\ & [x_2]^{\frac{1+2\tau}{1+\tau}}) - (2\gamma_1 + 2)[x_2]^{\frac{2}{1+\tau}-1}kd := \\ & (2\gamma_1 + 2)kA_1 - (2\gamma_1 + 2)[x_2]^{\frac{2}{1+\tau}-1}kd. \end{aligned} \quad (\text{A.1})$$

对于(A.1), 使用引理3, 得到

$$\begin{aligned} A_1 = & -|x_2|^{\frac{2+\tau}{1+\tau}} + [x_2]^{\frac{2}{1+\tau}-1}([x_1]^{1+2\tau} - [x_2]^{\frac{1+2\tau}{1+\tau}}) \leqslant \\ & -|x_2|^{\frac{2+\tau}{1+\tau}} + 2^{1-\frac{1+2\tau}{1+\tau}}|x_2|^{\frac{2}{1+\tau}-1}|[x_1]^{1+\tau} - x_2|^{\frac{1+2\tau}{1+\tau}}. \end{aligned} \quad (\text{A.2})$$

令

$$\xi = [x_1]^{1+\tau} - x_2, \quad (\text{A.3})$$

并使用引理5, 可以得到

$$\begin{aligned} A_1 \leqslant & -|x_2|^{\frac{2+\tau}{1+\tau}} + \frac{1}{2}|x_2|^{\frac{2+\tau}{1+\tau}} + \gamma_2|\xi|^{\frac{2+\tau}{1+\tau}} = \\ & -\frac{1}{2}|x_2|^{\frac{2+\tau}{1+\tau}} + \gamma_2|\xi|^{\frac{2+\tau}{1+\tau}}. \end{aligned} \quad (\text{A.4})$$

其次, 由引理2可知, V_2 的导数为

$$\begin{aligned} \dot{V}_2 = & (x_1 - [x_2]^{\frac{1}{1+\tau}})(\dot{x}_1 - \frac{1}{1+\tau}|x_2|^{\frac{1}{1+\tau}-1}\dot{x}_2) = \\ & (x_1 - [x_2]^{\frac{1}{1+\tau}})k_1(x_2 - [x_1]^{1+\tau}) + \frac{1}{1+\tau}(x_1 - \\ & [x_2]^{\frac{1}{1+\tau}})|x_2|^{\frac{1}{1+\tau}-1}k[x_1]^{1+2\tau} + \\ & \frac{1}{1+\tau}(x_1 - [x_2]^{\frac{1}{1+\tau}})|x_2|^{\frac{1}{1+\tau}-1}kd := \\ & A_2 + A_3 + \frac{1}{1+\tau}(x_1 - [x_2]^{\frac{1}{1+\tau}})|x_2|^{\frac{1}{1+\tau}-1}kd. \end{aligned} \quad (\text{A.5})$$

接下来, 将估计式(A.5)中的每一项。首先, 通过引理4, 得到

$$\begin{aligned} A_2 = & -k_1|x_1 - x_2|^{\frac{1}{1+\tau}} \cdot |x_1^{1+\tau} - x_2| \leqslant \\ & -k_12^{1-\frac{1}{1+\tau}}|[x_1]^{1+\tau} - x_2|^{\frac{1}{1+\tau}} \cdot |[x_1]^{1+\tau} - x_2| = \\ & -k_12^{1-\frac{1}{1+\tau}}|\xi|^{\frac{2+\tau}{1+\tau}}. \end{aligned} \quad (\text{A.6})$$

至于 A_3 , 由引理5可知

$$\begin{aligned} A_3 = & k\frac{1}{1+\tau}|x_1|^{2+2\tau}|x_2|^{\frac{1}{1+\tau}-1} + k\frac{1}{1+\tau}|x_1|^{1+2\tau}|x_2|^{\frac{2}{1+\tau}-1} \leqslant \\ & k\frac{1}{1+\tau}\frac{2+2\tau}{2+\tau}|x_1|^{2+\tau} + k\frac{1}{1+\tau}\frac{-\tau}{2+\tau}|x_2|^{\frac{2+\tau}{1+\tau}} + \\ & k\frac{1}{1+\tau}\frac{1+2\tau}{2+\tau}|x_1|^{2+\tau} + k\frac{1}{1+\tau}\frac{1-\tau}{2+\tau}|x_2|^{\frac{2+\tau}{1+\tau}} = \\ & k\frac{1}{1+\tau}\frac{1-2\tau}{2+\tau}|x_2|^{\frac{2+\tau}{1+\tau}} + k\frac{1}{1+\tau}\frac{3+4\tau}{2+\tau}|x_1|^{2+\tau}. \end{aligned} \quad (\text{A.7})$$

此外, 基于引理4, 很容易得到

$$|x_1|^{2+\tau} = |[x_1]^{1+\tau} - x_2 + x_2|^{\frac{2+\tau}{1+\tau}} \leqslant$$

$$2^{\frac{1}{1+\tau}}(|\xi|^{\frac{2+\tau}{1+\tau}} + |x_2|^{\frac{2+\tau}{1+\tau}}). \quad (\text{A.8})$$

将这个不等式代入式(A.7), 则

$$A_3 \leq k\gamma_1|x_2|^{\frac{2+\tau}{1+\tau}} + k\gamma_3|\xi|^{\frac{2+\tau}{1+\tau}}, \quad (\text{A.9})$$

$$\text{其中 } \gamma_3 = \frac{1}{1+\tau} \frac{3+4\tau}{2+\tau} 2^{\frac{1}{1+\tau}}.$$

联立式(A.1)–(A.9), 李雅普诺夫函数的导数为

$$\begin{aligned} \dot{V} &= \dot{V}_1 + \dot{V}_2 \leq \\ &- k|x_2|^{\frac{2+\tau}{1+\tau}} - (k_1 2^{1-\frac{1}{1+\tau}} - (2\gamma_1 + 2)\gamma_2 k - \\ &k\gamma_3)|\xi|^{\frac{2+\tau}{1+\tau}} + kd^*(2\gamma_1 + 2 + \frac{1}{1+\tau})|x_2|^{\frac{2}{1+\tau}-1} + \\ &kd^* \frac{1}{1+\tau}|x_1||x_2|^{\frac{1}{1+\tau}-1}. \end{aligned} \quad (\text{A.10})$$

如果 k_1 的选取满足

$$k_1 2^{1-\frac{1}{1+\tau}} - (2\gamma_1 + 2)\gamma_2 k - k\gamma_3 > k, \quad (\text{A.11})$$

那么

$$\begin{aligned} \dot{V} &\leq \\ &- k|x_2|^{\frac{2+\tau}{1+\tau}} - k|\xi|^{\frac{2+\tau}{1+\tau}} + \\ &kd^*(2\gamma_1 + 2 + \frac{1}{1+\tau})|x_2|^{\frac{2}{1+\tau}-1} + \\ &kd^* \frac{1}{1+\tau}|x_1| \cdot |x_2|^{\frac{1}{1+\tau}-1}, \end{aligned} \quad (\text{A.12})$$

$$\text{其中 } d^* = \frac{L}{k_2}.$$

此外, 从引理5可以得出

$$\begin{aligned} |x_1||x_2|^{\frac{1}{1+\tau}-1} &= |x_2|^{\frac{1}{1+\tau}-1} |[x_1]^{1+\tau}|^{\frac{1}{1+\tau}} \leq \\ &\frac{-\tau}{1-\tau} |x_2|^{\frac{2}{1+\tau}-1} + \frac{1}{1-\tau} |[x_1]^{1+\tau}|^{\frac{2}{1+\tau}-1}. \end{aligned} \quad (\text{A.13})$$

类似于式(A.8)的推导, 可以得到

$$\begin{aligned} |x_1||x_2|^{\frac{1}{1+\tau}-1} &\leq \\ &\frac{1}{1-\tau} (2^{\frac{-2\tau}{1+\tau}} - \tau) |x_2|^{\frac{2}{1+\tau}-1} + \frac{1}{1-\tau} 2^{\frac{-2\tau}{1+\tau}} |\xi|^{\frac{2}{1+\tau}-1}. \end{aligned} \quad (\text{A.14})$$

把这个不等式代入式(A.12), 有

$$\begin{aligned} \dot{V} &\leq \\ &- k(|\xi|^{\frac{2+\tau}{1+\tau}} + |x_2|^{\frac{2+\tau}{1+\tau}}) + kd^*\gamma_4|x_2|^{\frac{2}{1+\tau}-1} + \\ &kd^*\gamma_5|\xi|^{\frac{2}{1+\tau}-1}, \end{aligned} \quad (\text{A.15})$$

其中:

$$\begin{cases} \gamma_4 = 2\gamma_1 + 2 + \frac{1}{1+\tau} \frac{2^{\frac{2}{1+\tau}-2} + 1 - 2\tau}{1-\tau}, \\ \gamma_5 = \frac{1}{1+\tau} \frac{2^{\frac{2}{1+\tau}-2}}{1-\tau}. \end{cases} \quad (\text{A.16})$$

至于式(A.15)中的最后二项, 由引理5可得

$$kd^*\gamma_4|x_2|^{\frac{2}{1+\tau}-1} + kd^*\gamma_5|\xi|^{\frac{2}{1+\tau}-1} \leq$$

$$\frac{k}{2}|x_2|^{\frac{2+\tau}{1+\tau}} + \frac{k}{2}|\xi|^{\frac{2+\tau}{1+\tau}} + k\gamma_6(d^*)^{\frac{2+\tau}{1+2\tau}}, \quad (\text{A.17})$$

其中

$$\gamma_6 = \frac{1+2\tau}{2+\tau} \left(\frac{2-2\tau}{2+\tau} \right)^{\frac{1-\tau}{1+2\tau}} \left(\gamma_4^{\frac{2+\tau}{1+2\tau}} + \gamma_5^{\frac{2+\tau}{1+2\tau}} \right).$$

最终得到

$$\dot{V} \leq -\frac{k}{2}(|\xi|^{\frac{2+\tau}{1+\tau}} + |x_2|^{\frac{2+\tau}{1+\tau}}) + k\gamma_6(d^*)^{\frac{2+\tau}{1+2\tau}}. \quad (\text{A.18})$$

另一方面, 根据 V 的定义, 由引理4可知

$$\begin{aligned} V &\leq (\gamma_1 + 1)(1+\tau)|x_2|^{\frac{2}{1+\tau}} + x_1^2 + |x_2|^{\frac{2}{1+\tau}} = \\ &((\gamma_1 + 1)(1+\tau) + 1)|x_2|^{\frac{2}{1+\tau}} + |x_1|^2. \end{aligned} \quad (\text{A.19})$$

由

$$\begin{aligned} |x_1|^2 &= |[x_1]^{1+\tau} - x_2 + x_2|^{\frac{2}{1+\tau}} \leq \\ &2^{\frac{2}{1+\tau}-1}(|\xi|^{\frac{2}{1+\tau}} + |x_2|^{\frac{2}{1+\tau}}), \end{aligned} \quad (\text{A.20})$$

得到

$$\begin{aligned} V &\leq \\ &((\gamma_1 + 1)(1+\tau) + 1 + 2^{\frac{2}{1+\tau}-1})|x_2|^{\frac{2}{1+\tau}} + \\ &2^{\frac{2}{1+\tau}-1}|\xi|^{\frac{2}{1+\tau}} \leq \gamma_7(|x_2|^{\frac{2}{1+\tau}} + |\xi|^{\frac{2}{1+\tau}}), \end{aligned} \quad (\text{A.21})$$

其中

$$\gamma_7 = (\gamma_1 + 1)(1+\tau) + 1 + 2^{\frac{2}{1+\tau}-1}. \quad (\text{A.22})$$

再从引理6可以看到

$$\begin{aligned} \left(\frac{V}{\gamma_7}\right)^{\frac{2+\tau}{2}} &\leq (|x_2|^{\frac{2}{1+\tau}} + |\xi|^{\frac{2}{1+\tau}})^{\frac{2+\tau}{2}} \leq \\ &|x_2|^{\frac{2+\tau}{1+\tau}} + |\xi|^{\frac{2+\tau}{1+\tau}}. \end{aligned} \quad (\text{A.23})$$

因此, 从式(A.18)和式(A.23)可知

$$\dot{V} \leq -\frac{k}{2} \left(\frac{V}{\gamma_7}\right)^{\frac{2+\tau}{2}} + k\gamma_6(d^*)^{\frac{2+\tau}{1+2\tau}}. \quad (\text{A.24})$$

参考文献:

- [1] UTKIN V I. *Sliding Modes in Control Optimization*. Berlin: Springer-Verlag, 1992.
- [2] EDWARDS C, SPURGEON K S. *Sliding Mode Control: Theory and Applications*. New York: Taylor & Francis, 1998.
- [3] YU X, KAYNAK O. Sliding mode control made smarter: a computational intelligence perspective. *IEEE Transactions on Systems, Man, and Cybernetics Magazine*, 2017, 3(2): 31–34.
- [4] SUN Hao, LI Shihua. Sliding mode control method for diesel engine fuel quantity actuator with disturbance estimation. *Control Theory & Applications*, 2018, 35(11): 1568–1576.
(孙昊, 李世华. 柴油机油量执行器的干扰估计滑模控制方法. 控制理论与应用, 2018, 35(11): 1568–1576.)
- [5] WANG Yanmin, PAULO Fecundo Adelson, YU Ling, et al. Influence of unmodeled dynamics on sliding mode controlled buck converter. *Acta Automation Sinica*, 2020, 46(11): 2472–2478.
(王艳敏, PAULO Fecundo Adelson, 于玲, 等. 未建模动态对Buck变换器滑模控制系统的影响分析. 自动化学报, 2020, 46(11): 2472–2478.)
- [6] WANG Junxiao, RONG Jiayi, YU Li. Design and implementation of reduced-order extended state observer and sliding mode control for DC DC buck converter. *Control Theory & Applications*, 2019, 36(9):

- 1486 – 1492.
(王军晓, 戎佳艺, 俞立. 直流降压变换器的降阶扩张状态观测器与滑模控制设计与实现. 控制理论与应用, 2019, 36(9): 1486 – 1492.)
- [7] LI Xuebing, MA Li, DING Shihong. A new second-order sliding mode control and its application to inverted pendulum. *Acta Automation Sinica*, 2015, 41(1): 193 – 202.
(李雪冰, 马莉, 丁世宏. 一类新的二阶滑模控制方法及其在倒立摆控制中的应用. 自动化学报, 2015, 41(1): 193 – 202.)
- [8] LEVANT A. Sliding order and sliding accuracy in sliding mode control. *International Journal of Control*, 1993, 58: 1247 – 1263.
- [9] LEVANT A. Higher-order sliding modes, differentiation and output-feedback control. *International Journal of Control*, 2003, 76: 924 – 961.
- [10] MEI Keqi, MA Li, DING Shihong, et al. Second-order sliding mode control design subject to sliding variable constraints. *Control Theory & Applications*, 2018, 35(3): 414 – 420.
(梅珂琪, 马莉, 丁世宏, 等. 滑动变量受限情况下的二阶滑模控制设计. 控制理论与应用, 2018, 35(3): 414 – 420.)
- [11] MORENO A J, OSORIO M. Strict Lyapunov functions for the super-twisting algorithm. *IEEE Transactions on Automatic Control*, 2012, 57(4): 1035 – 1040.
- [12] SEEBER R, HORN M. Stability proof for a well-established super-twisting parameter setting. *Automatica*, 2017, 84: 241 – 243.
- [13] UTKIN V. On convergence time and disturbance rejection of super-twisting control. *IEEE Transactions on Automatic Control*, 2013, 58(8): 2013 – 2017.
- [14] LIU Xiangjie, WANG Chengcheng, HAN Yaozhen. Second-order sliding mode control of dfig based variable speed wind turbine for maximum power point tracking. *Acta Automation Sinica*, 2017, 43(8): 1434 – 1442.
(刘向杰, 王诚诚, 韩耀振. 基于二阶滑模控制的变速双馈风力发电系统最大功率点跟踪. 自动化学报, 2017, 43(8): 1434 – 1442.)
- [15] GALAN N D, ROSAS J R, RIOS J L, et al. Application of PI and super twisting drivers to voltage regulation of wind farm via StatCom. *IEEE Latin America Transactions*, 2015, 13(2): 462 – 468.
- [16] CHALANGA A, KAMAL S, FRIDMAN L M, et al. Implementation of super-twisting control: super-twisting and higher order sliding-mode observer-based approaches. *IEEE Transactions on Industrial Electronics*, 2016, 63(6): 3677 – 3685.
- [17] ZHAO Z, GU H, ZHANG J, et al. Terminal sliding mode control based on super-twisting algorithm. *Journal of Systems Engineering and Electronics*, 2017, 28(1): 145 – 150.
- [18] KUMAR V, MOHANTY S R, KUMAR S. Event trigger super twisting sliding mode control for DC micro grid with matched/unmatched disturbance observer. *IEEE Transactions on Smart Grid*, 2020, 11(5): 3837 – 3849.
- [19] SAMI I, ULLAH S, BASIT A, et al. Integral super twisting sliding mode based sensorless predictive torque control of induction motor. *IEEE Access*, 2020, 8: 186740 – 186755.
- [20] ZHEN Z, YU C, JIANG S, et al. Adaptive super-twisting control for automatic carrier landing of aircraft. *IEEE Transactions on Aerospace and Electronic Systems*, 2020, 56(2): 984 – 997.
- [21] WANG Pan, CHAI Lin, FEI Shumin, et al. Asymptotic stability for a class of nonlinear systems with state time-delay based on sampled-data controller. *Control and Decision*, 2020, 35(5): 1143 – 1150.
(王攀, 柴琳, 费树岷, 等. 一类非线性状态时滞系统的基于采样控制器的渐近稳定性问题. 控制与决策, 2020, 35(5): 1143 – 1150.)
- [22] DU Haibo, LI Shihua, QIAN Chunjiang, et al. Global stabilization of a class of inherently nonlinear systems under sampled-data control. *Acta Automatica Sinica*, 2014, 40(2): 379 – 384.
- (都海波, 李世华, 钱春江, 等. 基于采样控制的一类本质非线性系统的全局镇定. 自动化学报, 2014, 40(2): 379 – 384.)
- [23] YU X, WANG B, LI X. Computer-controlled variable structure systems: the state-of-the-art. *IEEE Transactions on Industrial Informatics*, 2012, 8(2): 197 – 205.
- [24] GAO W, WANG Y, HOMAIFA A. Discrete-time variable structure control systems. *IEEE Transactions on Industrial Electronics*, 1995, 42(2): 117 – 122.
- [25] SU W C, DRAKUNOV S V, OZGUNER U. An $O(T^2)$ boundary layer in sliding mode for sampled-data systems. *IEEE Transactions on Automatic Control*, 2000, 45(3): 482 – 485.
- [26] QU S, XIA X, ZHANG J. Dynamics of discrete-time sliding-mode-control uncertain systems with a disturbance compensator. *IEEE Transactions on Industrial Electronics*, 2014, 61(7): 3502 – 3560.
- [27] LIVNE M, LEVANT A. Proper discretization of homogeneous differentiators. *Automatica*, 2014, 50(8): 2017 – 2014.
- [28] BARBOT J, LEVANT A, LIVNE M, et al. Discrete differentiators based on sliding modes. *Automatica*, 2020, 112, 108633.
- [29] GALIAS Z, YU X. Euler's discretization of single input sliding-mode control systems. *IEEE Transactions on Automatic Control*, 2007, 52(9): 1726 – 1730.
- [30] YU X, WANG B, GALIAS Z, et al. Discretization effect on equivalent control-based multi-input sliding-mode control systems. *IEEE Transactions on Automatic Control*, 2008, 53(6): 1563 – 1569.
- [31] WANG B, YU X, CHEN G. ZOH discretization effect on single-input sliding mode control systems with matched uncertainties. *Automatica*, 2009, 45(1): 118 – 125.
- [32] LI S, DU H, YU X. Discrete-time terminal sliding mode control systems based on Euler's discretization. *IEEE Transactions on Automatic Control*, 2014, 59(2): 546 – 552.
- [33] YAN Y, YU S, YU X. Euler's discretization effect on a sliding mode control system with super-twisting algorithm. *IEEE Transactions on Automatic Control*, 2020, Early Access.
- [34] YANG Chen, CHENG Yingying, DU Haibo, et al. An adaptive finite-time control algorithm for Buck converter systems. *Acta Automatica Sinica*, 2016, 42(2): 315 – 320.
(杨晨, 程盈盈, 都海波, 等. Buck型变换器自适应有限时间降压控制算法研究. 自动化学报, 2016, 42(2): 315 – 320.)
- [35] BHAT S P, BERNSTEIN D S. Geometric homogeneity with application to finite-time stability. *Mathematics of Control, Signals and Systems*, 2005, 17(2): 101 – 127.
- [36] BHAT S P, BERNSTEIN D S. Finite-time stability of continuous autonomous systems. *SIAM Journal on Control and Optimization*, 2000, 38(3): 751 – 766.
- [37] YU S, YU X, SHIRINZADEH B, et al. Continuous finite-time control for robotic manipulators with terminal sliding mode. *Automatica*, 2005, 41(11): 1957 – 1964.
- [38] QIAN C, LIN W. A continuous feedback approach to global strong stabilization of nonlinear systems. *IEEE Transactions on Automatic Control*, 2001, 46(7): 1061 – 1079.
- [39] HARDY G, LITTLEWOOD J, POLYA G. *Inequalities*. Cambridge: Cambridge University Press, 1952.

作者简介:

陈维乐 硕士研究生, 目前研究方向为非线性控制理论, E-mail: chenweile1997@mail.hfut.edu.cn;

都海波 博士, 教授, 博士生导师, 目前研究方向为非线性控制理论、电力电子控制等研究, E-mail: haibo.du@hfut.edu.cn.